

$^{208}\text{Pb}(^{18}\text{O},\text{F}\gamma)$  2000Fo10,2000Fo13

Type	Author	History	Citation	Literature Cutoff Date
Full Evaluation	D. M. Symochko, E. Browne, J. K. Tuli		NDS 110,2945 (2009)	1-Dec-2008

$^{208}\text{Pb}(^{18}\text{O},\text{F}\gamma)$ , E=91 MeV. Measured  $E_\gamma$ , and  $I_\gamma$  using GAMMASPHERE with 100 Compton-suppressed large volume HPGE detectors.

 $^{119}\text{Cd}$  Levels

E(level)	$J^\pi$ <sup>†</sup>
146.50 <sup>‡</sup>	(11/2 <sup>-</sup> )
682.34 <sup>‡</sup> 20	(15/2 <sup>-</sup> )
1431.8 <sup>‡</sup> 4	(19/2 <sup>-</sup> )
2326.8 <sup>‡</sup> 6	(23/2 <sup>-</sup> )
3022.8 <sup>‡</sup> 8	(27/2 <sup>-</sup> )
3337.8 9	
3988.1 <sup>‡</sup> 10	

<sup>†</sup> From Adopted Levels.

<sup>‡</sup> Band(A):  $\nu\text{h}_{11/2}$  sequence.

 $\gamma(^{119}\text{Cd})$ 

$E_\gamma$	$I_\gamma$ <sup>†</sup>	$E_i(\text{level})$	$J_i^\pi$	$E_f$	$J_f^\pi$
535.8 2	100	682.34	(15/2 <sup>-</sup> )	146.50	(11/2 <sup>-</sup> )
650.4 8	9.5 20	3988.1		3337.8	
696.0 6	23 4	3022.8	(27/2 <sup>-</sup> )	2326.8	(23/2 <sup>-</sup> )
749.5 2	91 6	1431.8	(19/2 <sup>-</sup> )	682.34	(15/2 <sup>-</sup> )
895.0 4	55 5	2326.8	(23/2 <sup>-</sup> )	1431.8	(19/2 <sup>-</sup> )
965.2 8	13 3	3988.1		3022.8	(27/2 <sup>-</sup> )
1011.0 8	14 3	3337.8		2326.8	(23/2 <sup>-</sup> )




<sup>†</sup> Relative to I(535.8 $\gamma$ )=100.

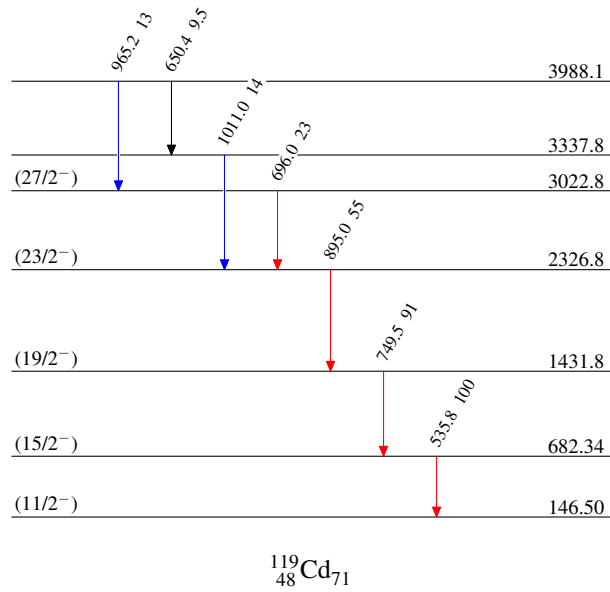
$^{208}\text{Pb}(^{18}\text{O},\text{F}\gamma)$  2000Fo10,2000Fo13

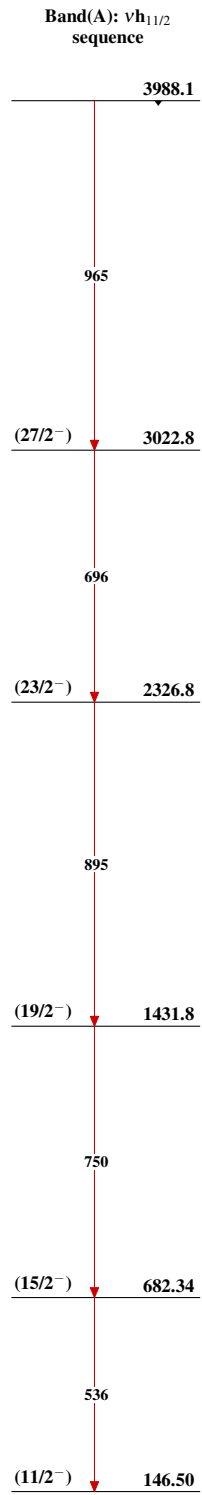
## Level Scheme

Intensities: Relative  $I_\gamma$ 

## Legend

-   $I_\gamma < 2\% \times I_\gamma^{\text{max}}$
-   $I_\gamma < 10\% \times I_\gamma^{\text{max}}$
-   $I_\gamma > 10\% \times I_\gamma^{\text{max}}$



$^{208}\text{Pb}(^{18}\text{O},\text{F}\gamma)$  2000Fo10,2000Fo13 $^{119}_{48}\text{Cd}_{71}$